

I-46 乾燥砂の振動性状に関する実験

神戸大学 正義 稲中元弘, 同 正義・大槻光良

筆者は主に乾燥砂および粘性砂を用い、斜面の振動時の安定性に関する実験について報告した二回¹⁾が、この実験における振動は下砂の内部摩擦角の変化を知る必要があることを痛感した。今回は二の目的のほかに、荷山数段ほどが行路中車走行抵抗試験を実施した結果について報告するが、まだ準備実験の段階であることを記しておきたい。

1. 振動実験の概要

実験に使用した砂は、筆者がこれまでに使用した主なものと同一の乾燥砂²⁾である。図-1は振動筒の側面図で、筒の中央部は331.5段計15個の斜面 $0.2 \times 9.8 \text{ mm}$ 、高さ約30cmの鋼製エンドリップを挿入されたものである。小孔は有りない。

この振動筒は
前記の乾燥砂
を高さ約5cm
ルーラーで状態
に整えてから、
特別に作られた
場所(自作)で

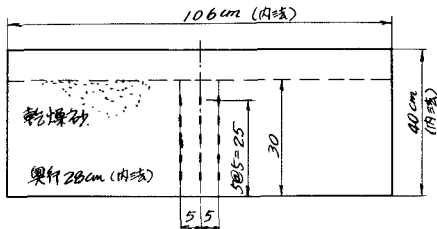


図-1 振動筒側面図

一定の規準により構成された。加振は松平式UBC-10A特種型振動試験機による水平代動加振である。実験の主な目的は、振動中に引張土抵抗値が加振条件、すなわち振動筒の加速度、振動の継続時間などによってどのようにかかわりがあるかを知ることである。準備実験の意味で振動終了後の引張抵抗については調べた。このように引張抵抗は、加速度にもとより大きく影響されるといわれて³⁾いるので、本実験では各の加速度を一回100 galから500 galまで5段階にして、この各加速度に対する各の振動数と振幅の種々の組合せの場合について引張抵抗を測定した。

2. 実験結果の概要

図-2は1方向加振し直後の各荷重の各の引張抵抗を各の加速度別に示したもので、この加振時間1分は各の加速度が100~500 galの所定の加速度に対するからの振動継続時間で、所定の加速度に対するまでの

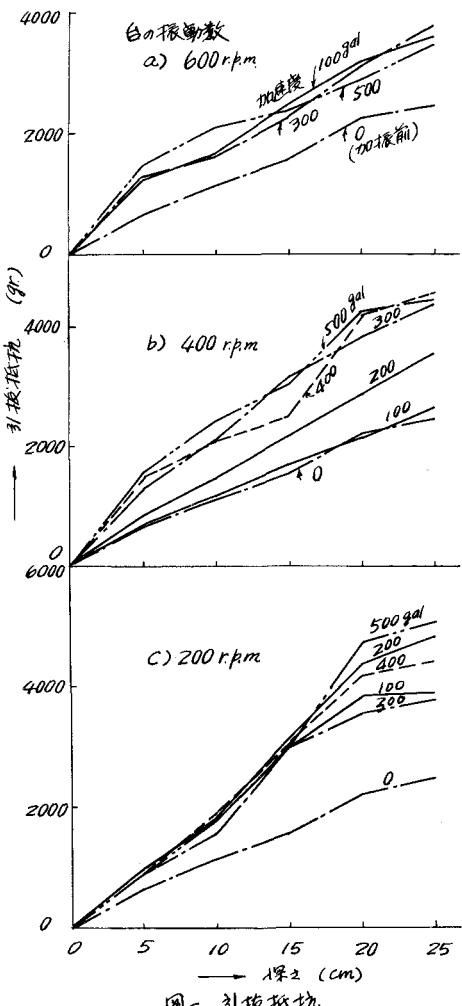


図-2 引張抵抗

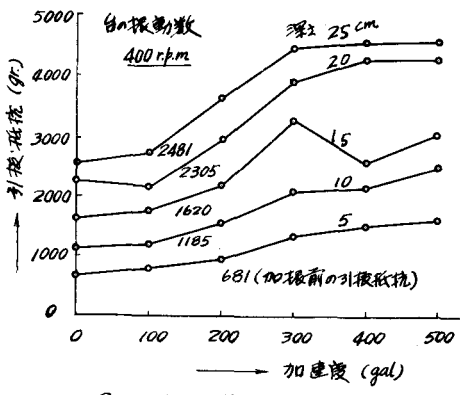


図-3 引抜抵抗-加速度曲線

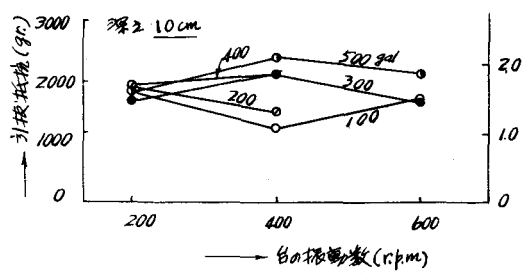


図-4 引抜抵抗-振動数曲線

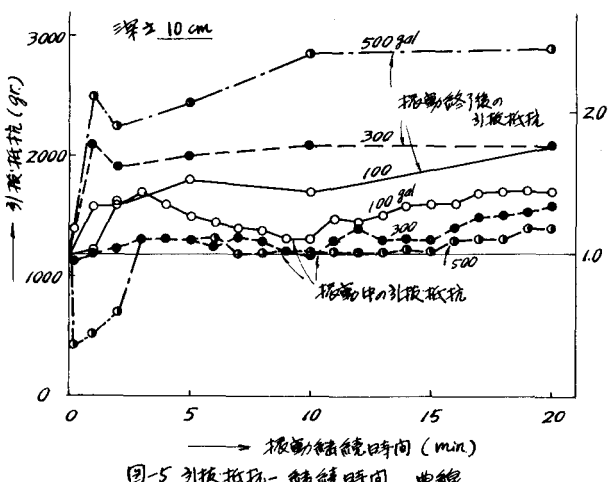


図-5 引抜抵抗-継続時間 曲線

の時間は約 10~25 秒である。図-3 と同様に、引抜抵抗の強度時間がこの程度では、砂はまだ通常状態にはほとんどなく、過渡的状態にあるものと考えられるが、図-2 の可観範囲内では引抜抵抗が約 3 倍し、加速度の増大とともに増加し 2~16 倍である。図-3 は図-2 より各の振動数が 400 r.p.m. の場合の引抜抵抗と加速度の関係を示したもので、この関係は水深ほど簡単ではないのが、この場合は加速度の増大とともに引抜抵抗が増大して 11 倍。図-4 は図-2 より深さ 10 cm の土の引抜抵抗と各の振動数の関係を加速度別に示したもので、振動数が 400 の場合はほかの場合と引抜抵抗がほぼ同じであつて 1.3。図-2 の時は振動強度時間が 1 分の場合であるが、この時間が土から離れる場合、振動終了後の引抜抵抗は図-5 上部の 3 曲線で示す。測定値が少ないが、振動強度時間が 5~10 分は図-3 の引抜抵抗がほぼ一定となり、この抵抗の変化の大半が 1~5 分の間に起るといふのがわかる。

以上は振動終了後の引抜抵抗であるが、振動中にかけたこの抵抗の一例は図-5 の下部に示した 3 曲線のようになる。引抜抵抗の大半の変化は振動初期の 1~3 分間に起る。加速度が小土の場合には引抜抵抗は振動を加えて「静的」の状態よりも増大するが、加速度が大きい場合には両者の中间の引抜抵抗となり、上部の 3 曲線の傾向と対比して意味深い。

こうした現象の詳細は砂の組成や振

動前の地盤固めの程度などによって異なるが、振動初期の二のよう現象は土構造物の地震時の安定性を論じる場合に主なものは重要な問題であり、土工上研究を進めるべきである。

終りに本実験を実施された本教室の学生諸君に感謝の意を表す。

- 1) 土木: 振動時における斜面の滑走抵抗計測法、土壤学会年次講演会講演稿第 335, 第 2 回, 3 回地質工学研究会前編, 昭和 33.9, 19.9.
- 2) 村山, 鈴木: 軟弱な支持層における粒度層の振動特性(2)(2), 土誌, 41巻 3 号, 昭和 31.3.